

β -Tyrosinase에 관한 연구

제 2 보 β -Tyrosinase에 의한 Halogen 化 Tyrosine의 合成

金燦祚, 長沢 透*, 谷 吉樹*, 山田 秀明*

忠南大學校 農科大學 食品加工學科, *京都大學 農學部 農藝化學科 酵解生理 研究室
(1979년 12월 5일 수리)

Studies on the β -Tyrosinase

Part 2. On the Synthesis of Halo-tyrosine by β -Tyrosinase

Chan-Jo Kim, Toru Nagasawa*, Yoshiki Tani*, Hideaki Yamada*

Dept. of Food Sci. & Tech., Coll. of Agri., Chungnam Univ.

*Dept. of Agri. Chem., Faculty of Agri., Kyoto Univ., Japan

Summary

L-Tyrosine, 2-chloro-L-tyrosine, 2-bromo-L-tyrosine, and 2-iodo-L-tyrosine were synthesized by β -tyrosinase obtained from cells of *Escherichia intermedia* A-21, through the reversal of the α, β -elimination reaction, and their molecular structures were analyzed by element analysis, NMR spectroscopy, mass spectrometry and IR spectroscopy. Rates of synthesis and hydrolysis of halogenated tyrosines by β -tyrosinase, inhibition of the enzyme activity by halogenated phenols, and effects of addition of *m*-bromophenol on the synthesis of 2-bromotyrosine were determined. The results obtained were as follows:

- 1) In the synthesis of halogenated tyrosines, the yield of 2-chlorotyrosine from *m*-chlorophenol were approximately 15 per cent, that of 2-bromotyrosine from *m*-bromophenol 13.8 per cent, and that of 2-iodotyrosine from *m*-iodophenol 9.8 per cent.
- 2) Rate of synthesis of halogenated tyrosines by β -tyrosinase was slower than that of tyrosine and the rates were decreased in the order of chlorine, bromine and iodine, that is, by increasing the atomic radius. Relative rate of 2-chlorotyrosine synthesis was determined to be 28.2, that of 2-bromotyrosine to be 8.13, and that of 2-iodotyrosine to be 0.98, respectively, against 100 of tyrosine. However 3-iodotyrosine was not synthesized by the enzyme.
- 3) The relative rate of 2-chlorotyrosine hydrolysis by β -tyrosinase was 70.7, that of 2-bromotyrosine was 39.0, and that of 2-iodotyrosine was 12.6 against 100 of tyrosine, respectively. The rate of hydrolysis appeared to be decreased in the order of chlorine, bromine and iodine, that is, by increasing the atomic radius or by decreasing the electronegativity. But 3-iodotyrosine was not hydrolyzed by the enzyme.

- 4) The activity of β -tyrosinase was inhibited by phenol markedly. Of the halogenated phenols, *o*-, or *m*-chlorophenol and *o*-bromophenol gave marked inhibition on the enzyme action, however inhibition by iodophenol was not strong. Plotting by Lineweaver-Burk method, a mixed-type inhibition by *m*-chlorophenol was observed and its K_i value was found to be $5.46 \times 10^{-4} M$.
- 5) During the synthesizing reaction of 2-bromotyrosine by the enzyme, sequential addition of substrate which was *m*-bromophenol with time intervals and in a small amount resulted in better yield of the product.
- 6) The halogenated tyrosines which were produced by β -tyrosinase from pyruvate, ammonia and *m*-halogenated phenols were analysed to determine their molecular structures by element analysis, NMR spectroscopy, mass spectrometry, and IR spectroscopy. The result indicated that they were 2-chloro-L-tyrosine, 2-bromo-L-tyrosine, and 2-iodo-L-tyrosine, respectively.

緒論

筆者 등은 前報¹⁾에서 *Escherichia intermedia* A-21(京郭大學 農學部 AKU-0010)의 균체에서 β -tyrosinase(tyrosine phenol lyase)를結晶狀으로單離하여 몇 가지 효소화학적 성질을 조사하여 발표하였다. 이어서 pyruvic acid, phenol, ammonia 및 각종 halogen化 phenol를 基質로하고 精製한 β -tyrosinase의 α , β -脫離作用의 逆 반응을 이용하여 L-tyrosine과 2-chloro-L-tyrosine, 2-bromo-L-tyrosine 및 2-iodo-L-tyrosine를 새로 합성하였다. 이와같은 halogen化 tyrosine은 근래 生體반응의 情報擔體로 그 중요성이 논의되고 있는 흥미있는 물질이다.²⁾

이 生合成에서 L-tyrosine의 합성속도에 대한 halogen化 tyrosine의 합성속도를 비교하고 β -tyrosinase의 활성에 대한 halogen化 phenol의 영향을 검토 측정하였다.

그리고 합성한 halogen化 tyrosine을 元素分析하고 또한 NMR-spectrum, Mass-spectrum 및 IR-spectrum 등으로 측정하여 構造解剖을 하고 합성물질의 확인을 하였으므로 그 결과를 여기에 보고하는 바이다.

본 연구는 1978년도 문교부 교수 국비 국외 파견 연구계획에 의하여 日本京都大學 農學部 農藝化學科 酶酵生理學 教室에서 이루어진 것이다.

實驗

1) 酶素의 精製: 結晶 β -tyrosinase는 제1보¹⁾에서 記述한 바와 같은 배양 및 정제 조건으로 *Escherichia intermedia* A-21의 細胞抽出액에서 정제하였다.

2) 酶素의 活性 측정: 제1보¹⁾에서와 같이 Friedemann-Haugen의 방법에 따라 측정하였다.

3) Tyrosine의 合成: 山田^{4~9)} 등의 방법에 따라 pyruvin酸소다 300 μ moles, 黃酸 ammonium 150 μ moles, phenol 200 μ moles, pyridoxal磷酸(PLP) 0.6 μ moles, 鹽化 ammonium 완충액(pH 9.25) 200 μ moles 과 β -tyrosinase 0.0081~0.034 units를 함유하는 반응액 4ml를 30°C에서 10분간 반응시킨 후 2.5% 過鹽素酸 1ml를 加하여 반응을 정지시켰다. 그리하여 2,500×g로 10분간 遠沈시켜 그 上澄액 중의 tyrosine 생성량을 nitrosonaphthole 법³⁾으로定量하였다.

4) 2-Chlorotyrosine의 合成: 山田^{10~13)}등의 방법을 參考하여 반응액은 500ml로 하고 이 中에 pyruvin酸소다 50m moles, PLP 50 μ moles, 鹽化 ammonium 완충액(pH 9.25) 62.5mmoles, β -tyrosinase 62.5units를 함유케 하고 또한 *m*-chlorophenol 25m moles를 6.25m moles 씩 4회로 나누어 12시간마다 첨가하였다. 이것을 30°C에서 48시간 반응시킨 후 鹽酸으로 pH 1이 되게 하여 반응을 정지시켜 이때 沈澱되는 단백질은 12,000×g에서 20분간의 遠沈으로 제거시켰다.

그 上澄액을 分液여두에 취하고 toluene 350ml를 加하여 殘存하는 *m*-chlorophenol를 추출제거하는 조작을 3回 반복하였다. 그 水層液을 amberlite CG-120의 Column(H⁺型 2.5×20cm)에 통과시키고 잘 水洗한 후 0.3N-NH₃로 溶出하였다. 이것을 butanol: acetic acid : H₂O = 4 : 1 : 1의 溶媒系로 silica gel의 TLC로 展開시켜 R_f = 0.53의 ninhydrin陽性劃分을 모아 真空 농축하였다. 농축액을 4°C에 放置하여 結晶을析出시키고 다시 그 結晶을 4°C에서 물로 再結晶시켜 P₂O₅을

사용하여 조사하였다.

5) 2-Bromotyrosine의 合成 : 반응액은 800ml로 하고 이 中에 pyruvin 酸소다 80m moles, PLP 80 μ moles, 鹽化 ammonium 완충액(pH9.25) 100m moles 및 β -tyrosinase 100units를 함유케 하고 *m*-bromophenol은 40m moles를 10m moles 씩 4회에 나누어 12시간마다 첨가하여 30°C에서 48시간 반응시켰다. 以下 結晶을 얻기까지는 2-chlorotyrosine의 경우와 같이 하였다. 但 過剩의 *m*-bromophenol은 560ml 식의 tolnene을 加하여 3회 추출 제거하였다.

6) 2-Iodotyrosine의 合成 : 반응액은 1l로 하고 이 中에 pyruvin 酸소다 100m moles, PLP 100 μ moles, 鹽化 ammonium 완충액(pH9.25) 125m moles 및 β -tyrosinase 125units를 함유케 하고 *m*-iodophenol 50m moles를 12.5m moles 씩 4회에 나누어 12시간마다 첨가하여 30°C에서 48시간 반응시켰다. 以下 結晶을 얻기까지는 上述한 바와 같다. 但 残存하는 *m*-iodophenol은 700ml 식의 toluene을 加하여 3회 추출 제거하였다.

7) Halogen 化 tyrosine의 合成速度 : pyruvin 酸소다 10m moles, PLP 10 μ moles, 鹽化 ammonium(pH9.25) 12.5m moles, halogen 化 phenol 5m moles 및 β -tyrosinase 6.75units를 함유하는 반응액 100ml를 30°C에서 6시간 반응시킨 후 100°C에서 10분간 가열하여 반응을 중지시키고 變性 단백을 제거하고 paper chromatography에 의하여 생성된 tyrosine 및 halogen 化 tyrosine를 分離同定하고 cadmium ninhydrin 법¹⁴⁾으로 그 생성량을 定量 비교하여 합성속도를 측정하였다.

8) Halogen 化 tyrosine의 分解速度 : 합성한 halogen 化 tyrosine의 β -tyrosinase에 의한 분해속도를 Friedemann 등의 방법¹⁵⁾에 따라 분해에서 생성되는 pyruvic acid를 定量하여 측정하였다.

9) β -Tyrosinase에 대한 halogen 化 phenol의 阻害 : L-tyrosine 2.5 μ moles, PLP 0.4 μ moles, 磷酸카리 완충액(pH 8.0) 200 μ moles 및 β -tyrosinase 0.137units를 함유하는 반응액 4ml에 각종 halogen 化 phenol 10 μ moles를 첨가하였다. halogen 化 phenol은 물에 잘 용해하지 않으므로 ethanol에 용해시켜 첨가하였으며 ethanol의 最終濃度는 반응액에 대하여 0.5%로 하였다. 이 반응액을 30°C에서 20분간 반응시킨 후 pyruvic

acid의 생성량을 Friedemann 등의 방법¹⁵⁾으로 측정하여 阻害효과를 조사하였다.

10) 2-Bromotyrosine의 合成에서 *m*-bromo-phenol의 經時的 添加效果 : pyruvin 酸소다 0.7m moles, PLP 0.7 μ moles, 鹽化 ammonium(pH 9.25) 0.875m moles 및 β -tyrosinase 0.875units를 함유하는 반응액 7ml에 *m*-bromophenol을 plot (1)에는 0.18m moles, (2), (3)에는 0.35m moles를 함유하는 조건으로 반응을 시켜 10시간 후 (1)에는 다시 0.18m moles의 *m*-bromophenol을 첨가하고 (2)에는 0.875units의 β -tyrosinase를 첨가하여 반응시켰다. 그리하여 2-bromotyrosine의 생성량을 butanol : acetic acid : H₂O = 4 : 1 : 1의 開展溶媒를 써서 ninhydrin 법¹⁴⁾으로 定量하여 비교 측정하였다.

11) Halogen 化 tyrosine의 元素分析 : 합성한 halogen 化 tyrosine 약 3mg를 시료로 하여 柳本 C.H.N. Recorder MT-1를 사용하여 분석하였다 Cl, I, 및 Br 등은 Na 選擇性銀滴定法으로 약 8mg의 시료를 사용하여 분석하였다.

12) Halogen 化 tyrosine의 nuclear magnetic resonance(NMR)-spectrum의 측정 : 10mg의 halogen 化 tyrosine를 0.1M-NaOD 0.4ml에 녹여 Varian A-90의 spectrometer로서 그 spectrum을 측정하였다.

13) Halogen 化 tyrosine의 mass-spectrum의 측정 : 日本電子 JMS-OISG를 사용하여 측정하였다.

14) Halogen 化 tyrosine의 IR-spectrum의 측정 : 日立 EPI-S2로서 측정하였다.

15) TLC에 의한 tyrosine 및 halotyrosine의 儿子合成에 대한 검토 : 반응액을 一定 시간 작용시킨 후 沸騰水浴에 2분간 침지하여 침전하는 단백질을 3,500×g에서 10분간 遠沈시켜 제거하고 上澄액의一部를 silica gel의 TLC(Merck, Kiesel gel 60 F 254)를 하여(展開溶媒; n-butanol : acetic acid : H₂O = 4 : 1 : 1) 0.5% ninhydrin-acetone 용액으로 發色시켜 tyrosine 및 halotyrosine의 儿子合成을 검토하였다.

16) PPC에 의한 tyrosine 및 halotyrosine의 定量 : 儿子合成에 의하여 생성된 tyrosine 및 halotyrosine은 東洋濾紙 No. 53, 展開溶媒 n-butanol : acetic acid : H₂O = 4 : 1 : 1 또는 n-propanol : NH₃ : H₂O = 20 : 15 : 3으로 한 PPC로 분리시킨 후 cadmium-ninhydrin 용액에 침지하

여 전조시키고 紅色으로 呈色한 spot 를 切取하고 0.001% Cd-acetate 를 함유하는 75% ethanol 로 추출한 후 500nm 에서 吸光度를 측정하여 정량하였다.¹⁴⁾

Cadmium-ninhydrin 용액은 Cd-acetate 100mg 을 50% 醋酸 10ml 에 용해시켜 acetone 으로 100ml 로 하고 여기에 ninhydrine 1g 를 용해시킨 것이다.

17) Nitrosonaphthol 법에 의한 tyrosine 의 정량 : 95% ethanol 에 용해한 0.1% 1-nitroso-2-naphthol 용액과 5배 희석한 HNO₃에 용해한 0.5% NaNO₃ 용액 각자 1ml 씩을 서로 2ml(tyrosine 0.03~0.8μmoles 를 함유)에 加한다. 이 반응액을 55°C에서 30분간 가열한 후 냉각하고 二鹽化 ethylene 10ml 를 加하여 未反應의 nitrosonaphthol 를 추출 제거시킨다. 水溶액 부분을 2,500×g 로서 10분간 遠沈하고 上澄액을 450nm 에서 比色정량하였다.³⁾

結 果

1) Tyrosine 의 합성 : 효소합성에 의하여 생성된 tyrosine 의量을 nitrosonaphthol 법으로 정량한 결과를 보면 그림 1과 같다.

그림 1에서와 같이 효소의 첨가량에 比例하여 tyrosine의 생성량이 증가함이 認定되었다.

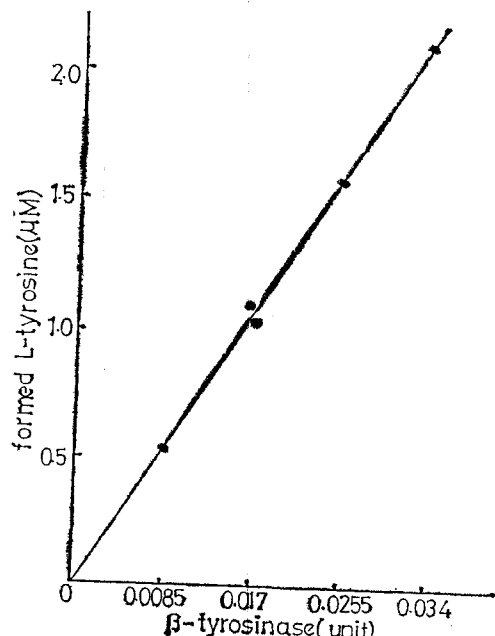


Fig. 1. Formation of L-tyrosine by the α , β -elimination of β -tyrosinase.

2) 2-Chlorotyrosine의 합성 : *m*-chlorophenol, pyruvin 酸 및 NH₃ 를 基質로 하고 β -tyrosinase 의 α , β -脫離반응의 逆반응을 이용하여 2-chlorotyrosine 의 優先합성을 시도하여 약 3.75m moles 이 반응액 중에 합성되었음이 PPC 법으로 분리하고 cadmium-ninhydrin 법¹⁴⁾으로 定量함으로서 認定되었다.

또한 이 값으로 미루어 *m*-chlorophenol에서 2-chlorotyrosine 이 합성된 回收率은 약 15.0% 이었다.

3) 2-Bromotyrosine의 합성 : *m*-bromophenol, pyruvin 酸 및 NH₃ 를 基質로 하고 β -tyrosinase 를 이용하여 2-bromotyrosine 的 優先합성을 시도하였다. 그 결과 반응액 중에 약 5.52m moles 의 2-bromotyrosine 이 합성되었음이 PPC로 분리하고 cadmium-ninhydrin 법¹⁴⁾으로 定量하는 것으로 認定되었다. 또한 *m*-bromophenol에서 2-bromotyrosine 이 합성된 回收率은 13.8%이었다

4) 2-Iodotyrosine의 합성 : *m*-iodophenol, pyruvin 酸 및 NH₃ 를 基質로 하고 β -tyrosinase 를 이용하여 2-iodotyrosine 的 優先합성을 시도한 결과 약 4.9m moles 의 2-iodotyrosine 이 반응액 중에 합성되었음이 역시 PPC 와 cadmium-ninhydrin 법으로 定量하여 認定할 수 있었다. 또한 *m*-iodophenol에서 2-iodotyrosine 이 합성된 回收率은 9.8%이었다.

5) Halogen 化 tyrosine 의 합성 속도 : *m*-halogen 化 phenol, pyruvin 酸 및 NH₃ 를 基質로 하고 β -tyrosinase 의 α , β -脫離作用의 逆반응을 이용하여 halogen 化 tyrosine 이 합성되는 속도를 phenol, pyruvin 酸 및 NH₃에서 tyrosine 的 합성속도와 비교 검토하였다. 그 결과 표 1에 표시한 바와 같이 phenol에서 tyrosine 的 생성에 비하여 *m*-halogen 化 phenol에서 2-haloeng 化 tyrosine 的 합성속도는 현저히 저하되었다. 특히

Table 1. Relative rate of halo-tyrosine synthesis from ammonia, pyruvate and halophenol by β -tyrosinase.

Tyrosine derivatives	Synthetic velocity (%)
Tyrosine	100
2-Chlorotyrosine	28.2
2-Bromotyrosine	8.13
2-Iodotyrosine	0.98
3-Iodotyrosine	0.000

鹽素, 臭素, 沃素의 順으로 原子半徑이 증가함에 따라서 halogen 化 tyrosine의 합성속도가 低下되는 것이 인정되었다.

6) Halogen 化 tyrosine의 분해속도 : β -tyrosinase 의 α, β -脫離반응에 의한 tyrosine, 2-chlorotyrosine, 2-bromotyrosine 및 2-iodotyrosine의 분해속도를 분해에서 생성되는 pyruvate酸을定量하여 검토하였다. 그 결과 표 2에 표시한 바와 같이 鹽素, 臭素, 沃素의 순으로 原子半徑이 크고 電氣陰性度가 적어짐에 따라서 β -tyrosinase의 α, β -脫離반응은 저하되는 것이 뚜렷하였다. 그리고 3-iodotyrosine은 β -tyrosinase의 基質이 되지 않은 것을 알 수 있었다.

Table 2. Relative rate of pyruvate formation from halo-tyrosine derivatives by β -tyrosinase.

Tyrosine derivatives	Degradative velocity (%)
Tyrosine	100
2-Chlorotyrosine	70.7
2-Bromotyrosine	39.0
2-Iodotyrosine	12.6
3-Iodotyrosine	0.0

7) β -Tyrosinase에 대한 halogen 化 phenol의 阻害효과 : tyrosine을 基質로 하는 β -tyrosinase의 α, β -脫離반응에 대하여 각종 halogen phenol의 영향을 검토하였다. halogen 化 phenol의 阻害효과는 표 3에 표시한 바와 같다.

Table 3. Effect of halophenol on the α, β -elimination reaction of β -tyrosinase.

Phenol derivatives	Formed pyruvate(μmol)	Relative activity
no addition	1,480	100
Phenol	0.235	15.9
p-Chlorophenol	1,250	84.4
<i>o</i> -Chlorophenol	0.980	66.2
<i>m</i> -Chlorophenol	0.950	64.2
<i>p</i> -Bromophenol	1,052	71.1
<i>o</i> -Bromophenol	0.912	61.6
<i>m</i> -Bromophenol	1,332	90.0
<i>p</i> -Iodophenol	1,434	96.7
<i>o</i> -Iodophenol	1,419	95.9
<i>m</i> -Iodophenol	1,336	90.3

표 3에서와 같이 phenol은 현저한 阻害作用을 보였으며 *o*-chlorophenol, *m*-chlorophenol 및 *a*-bromophenol의 阻害도 현저하였다. 반면 iodophenol의 阻害는僅少하였다.

한편 그림 2는 tyrosine을 基質로 하였을 때 β -tyrosinase의 活性에 대한 *m*-bromophenol의 阻害作用을 Lineweaver-Burk plot에 의하여 표시한 것이다.

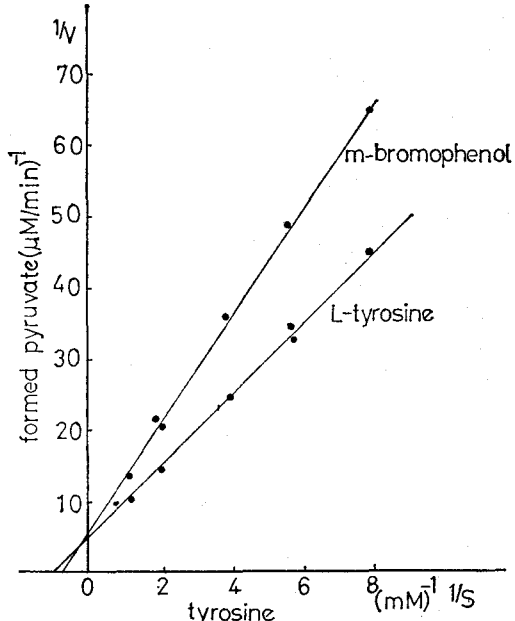


Fig. 2. Inhibition of *m*-bromophenol on the β -elimination reaction of β -tyrosinase.

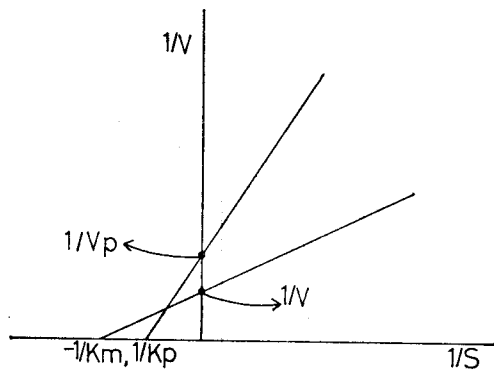
m-bromophenol은 混合型의 阻害型을 나타내었으며 그 K_i 값은 $6.25 \times 10^{-4}\text{M}$ 을 보였다. 같은 방법으로 기타의 halogen 化 phenol의 K_i 값을 측정하여 표 4에 표시하였다.

Table 4. K_i values of halophenol derivatives for β -tyrosinase

Halophenol derivatives	$K_i(\text{M})$	Type of inhibition
<i>m</i> -Chlorophenol	5.46×10^{-4}	mixed
<i>o</i> -Bromophenol	6.25×10^{-4}	mixed
<i>m</i> -Bromophenol	6.25×10^{-4}	mixed
<i>o</i> -Iodophenol	1.81×10^{-3}	mixed
<i>m</i> -Iodophenol	6.47×10^{-4}	mixed

그리고 K_i 값은 다음 式에 의하여 算出하였다.

$$V_p = \frac{V}{1+iK_m/K_iK_{m'}}, \quad K_p = \frac{K_m(1+i/K_i)}{1+iK_m/K_iK_{m'}}$$



8) 2-Bromotyrosine의 합성에서 *m*-bromophenol의 經濟的 添加效果 : β -tyrosinase의 α, β -脫離반응을 이용하여 *m*-bromophenol, pyruvin酸 및 NH₃에서 2-bromotyrosine의 합성을 검토한 결과 高濃度의 *m*-bromotyrosine의 존재가 필요하나 同時에 β -tyrosinase는 이로 因하여 變性失活하는 것이 認定되었다.

그림 3에 *m*-bromophenol의 經時的인 첨가 효과를 표시하였다.

그림 3에서와 같이 *m*-bromophenol를 經時的

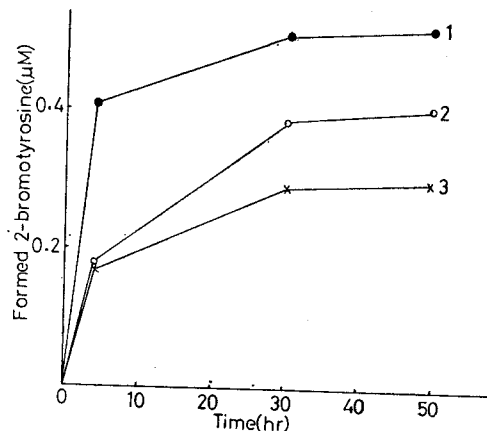


Fig. 3. Effect of feeding of *m*-bromophenol and refreshment of enzyme on the formation of 2-bromotyrosine.

으로 少量씩 첨가하는 것이 2-bromotyrosine의 優先合成에 效果적인 것을 알 수 있었다.

9) Halogen化 tyrosine의 元素分析 : β -tyrosinase의 α, β -脫離作用의 逆반응을 이용하여 합성한 halogen化 tyrosine의 C, H, N과 Cl, Br, I의 합량을 분석한 결과를 표 5에 표시하였다.

Table 5. Elemental analyses of 2-chloro-L-tyrosine, 2-bromo-L-tyrosine and 2-iodo-L-tyrosine.

	2-chloro-L-tyrosine				2-bromo-L-tyrosine				2-iodo-L-tyrosine			
Molecular formula	Cl	H			Br	H			I	H		
	HO—	HO—			HO—							
Molecular weight	215.64				260.09				307.09			
Elemental analysis	C%	H%	N%	Cl%	C%	H%	N%	Br%	C%	H%	N%	I%
Calculated	50.13	4.67	6.50	16.44	41.60	3.88	5.39	30.70	35.20	3.28	4.56	41.3
Found	49.32	4.93	6.29	16.09	39.44	4.16	5.15	29.60	33.69	3.62	4.16	39.4

표 5에서와 같이 元素分析한 값은 理論값과 잘一致되는 결과를 보여 목적한 halo-tyrosine이 正常의 으로 합성되었음을 推定하는 한 결과를 보였다.

10) 2-Chloro-L-tyrosine의 構造解析 : 優先合成한 2-chloro-L-tyrosine의 NMR-spectrum을 그림 4에 표시하였다.

그림 4에서와 같이 δ 값 2.84ppm에 ABX의 AB proton(H_A, H_B)에 由來하는 octet의 signal,

δ 값 3.48ppm에 X proton의 quartet의 signal (coupling 定數: $J_{AB}=5.5\text{Hz}$, $J_{AX}=8.5\text{Hz}$ 및 $J_{BX}=8.5\text{Hz}$)이 존재하고 非等價의 methylene proton의 존재를 示唆하고 있다.

한편 低磁場에 나타난 signal은 芳香族의 proton H_a , H_b 및 H_c 에 由來되고 각각 7.02ppm(H_a doublet, coupling 定數 $J_{ab}=8.2\text{Hz}$), 6.52ppm (H_b quartet, coupling 定數 $J_{ab}=8.2\text{Hz}$, $J_{bc}=2.3\text{Hz}$), 6.68ppm(H_c doublet, coupling 定數

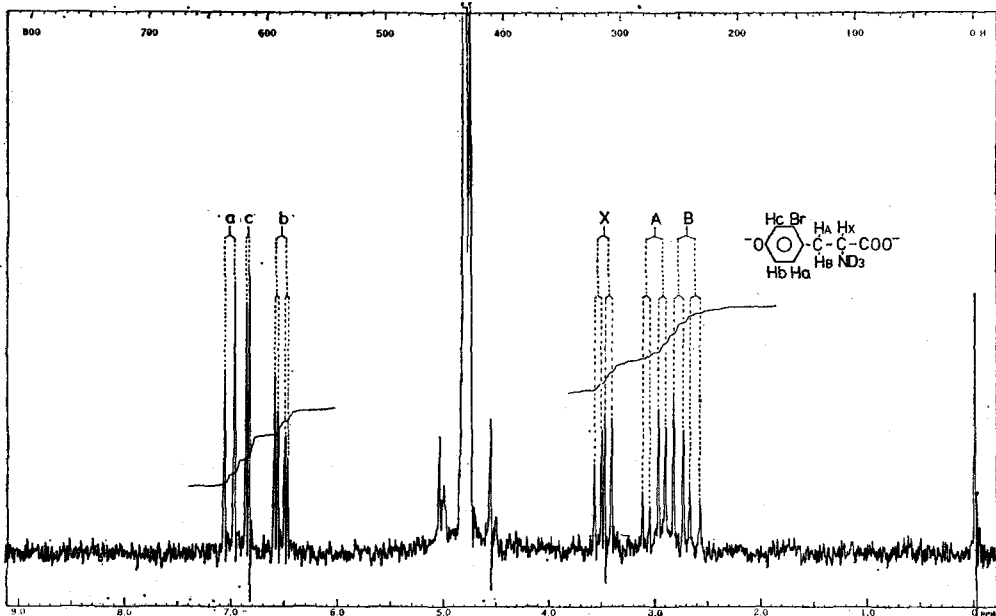


Fig. 4. NMR-spectrum of 2-chloro-L-tyrosine

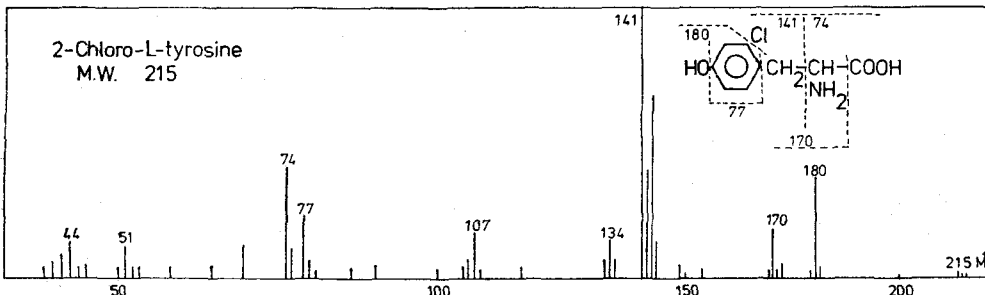


Fig. 5. Mass-spectrum of 2-chloro-L-tyrosine.

$J_{bc} = 2.3 \text{ Hz}$)을 보였다.

그리고 그림 5에 質量 spectrum 을 표시하였다.

m/e 215에 2-chlorotyrosine의 分子이온 peak 가 나타나 있다. 分子이온에서 -COOH 가 脱離한

m/e 141 등의 fragment peak 가 強하게 나타나 있음을 볼 수 있다.

한편 IR-spectrum 은 그림 6에 표시하였다.

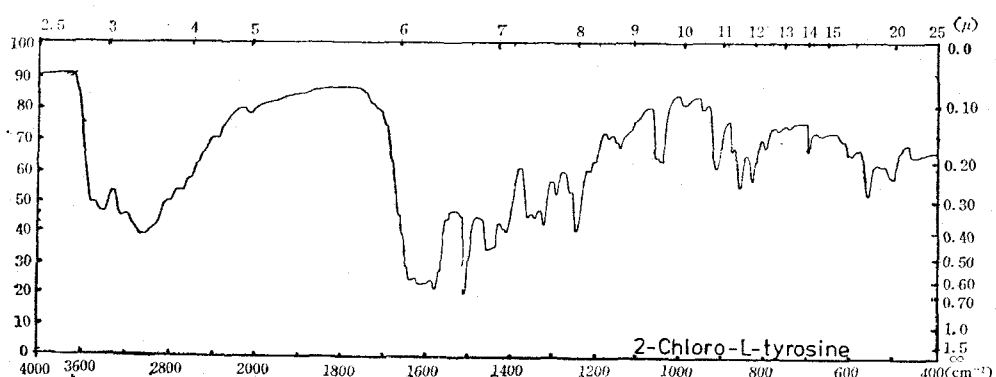


Fig. 6. IR-spectrum of 2-chloro-L-tyrosine

3, 400cm⁻¹에 —OH, 3, 210cm⁻¹에 —NH, 3, 000cm⁻¹에 —CH₂·CH—, 2, 400cm⁻¹에 —COOH, 1, 630cm⁻¹에 —C=O 및 1, 570cm⁻¹에 benzene核에 二重結合의吸收가 보이며 다시 1, 500cm⁻¹에 —NH에 의한吸收가 나타나 있다.

그리고 豪소합성하여 結晶화시킨 이 物質의 元素分析한 결과는 표 5에 표시한 바와같이 C, N, H 및 Cl의 分析값을 計算값과 잘一致하였다.

이상의 결과를 綜合하여 *m*-chlorophenol, NH₃ 및 pyruvin 酸에서 β -tyrosinase로 豪소합성한本化合物은 2-chloro-L-tyrosine으로 同定할 수 있었다.

11) 2-Bromo-L-tyrosine의 構造解析: 豪索합成한 2-bromo-L-tyrosine의 NMR-spectrum은 그림 7과 같다.

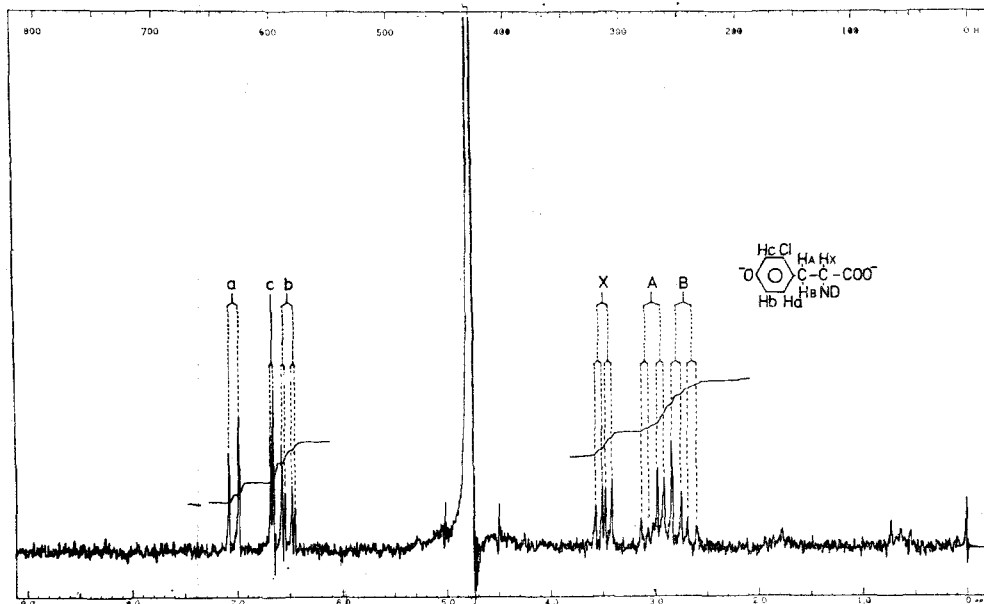


Fig. 7. NMR-spectrum of 2-bromo-L-tyrosine.

그림 7에서와 같이 δ 값 2.84ppm에 ABX型의 AB proton(H_A, H_B)에 由來하는 octet의 signal, δ 값 3.48ppm에 X proton의 quartet의 signal (coupling 定數 $J_{AB}=5.5$ Hz, $J_{AX}=8.5$ Hz 및 $J_{BX}=8.5$ Hz)가 존재하며 非等價의 methylene proton의 존재가 暗示되고 있다.

한편 低磁場에 나타난 signal은 芳香族의 proton

H_a, H_b 및 H_c에 由來하고 각각 7.02ppm(H_a, doublet, $J_{ab}=8.1$ Hz) 6.53ppm(H_b, quartet, $J_{ab}=8.1$ Hz, $J_{bc}=2.2$ Hz) 6.85ppm(H_c, doublet, $J_{bc}=2.2$ Hz)이다.

다음 質量分析 spectrum은 그림 8에 표시하였다.

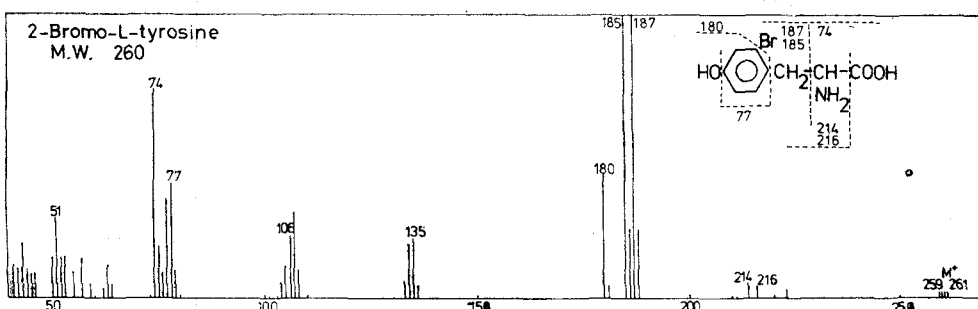


Fig. 8. Mass-spectrum of 2-bromo-L-tyrosine.

m/e 259, m/e 261에 分子이온 peak 가 2개 나타나 있다. 이것은 Br 의 同位體 peak 에 의한 것이다. 分子이온 peak 에서 —COOH 가 脫離한 m/e 216, m/e 214, Br 가 떨어진 m/l 180,

—CH(NH₃)COOH 가 떨어진 m/e 187, m/e 185 등의 fragment peak 가 주렷이 나타나 있다.

그리고 합성한 2-bromo-L-tyrosine 의 IR-spectrum 을 보면 그림 9와 같다.

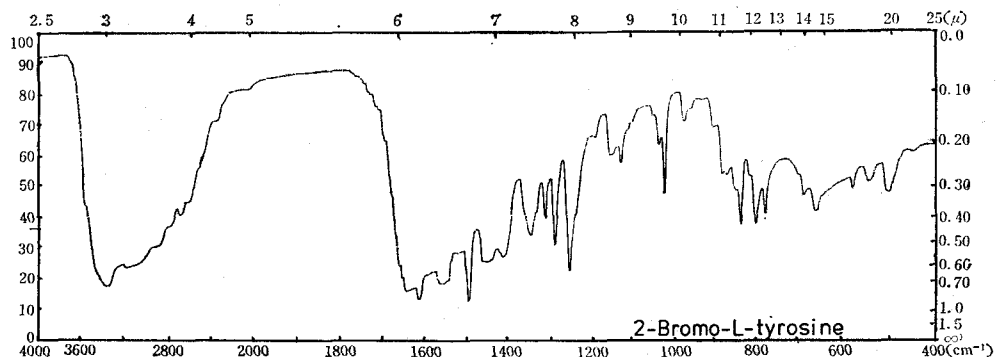


Fig. 9. IR-spectrum of 2-bromo-L-tyrosine

3, 400cm⁻¹에 —OH, 3, 210cm⁻¹에 —NH, 3, 000cm⁻¹에 —CH₂·CH—, 2, 400cm⁻¹에 —COOH, 1, 630cm⁻¹에 —C=O, 1, 570cm⁻¹에 benzene 核의 二重結合의 吸收가 나타나 있다. 또한 1, 500cm⁻¹에 —NH에 의한 吸收가 보인다.

本物質의 元素分析 결과는 표 5에서와 같이 C, N, H 및 Br 的 값이 각자의 計算값과 잘一致하였다.

以上의 결과로 m-bromophenol, NH₃ 및 pyruvin 酸에서 β -tyrosinase에 의하여 酵素合成된 本物質은 2-bromo-L-tyrosine 으로 同定할 수 있었다.

12) 2-Iodo-L-tyrosine 的 構造解析 : β -tyrosinase의 α , β -脫離作用의 逆반응을 이용하여 합成한 2-iodo-L-tyrosine 的 構造解析을 위하여 측정한 NMR-spectrum 을 그림 10에 표시하였다.

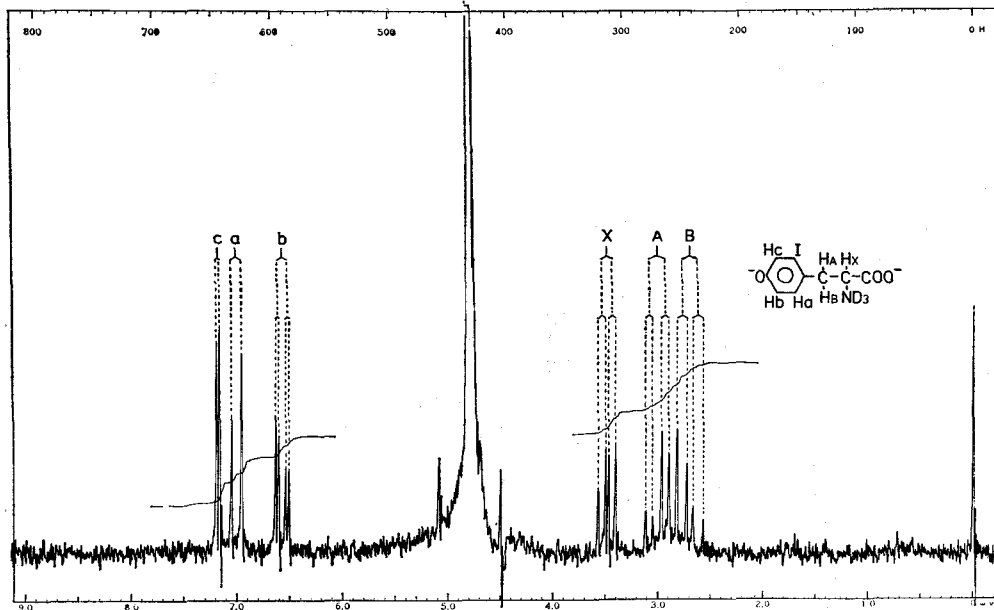


Fig. 10. NMR-spectrum of 2-iodo-L-tyrosine.

그림 10에서와 같이 δ 값 2.84ppm에 ABX型의 AB proton(H_A, H_B)에由來하는 octet의 signal, δ 값 3.48ppm에 X proton의 quartet의 signal(coupling定數 $J_{AB} = 5.5$ Hz, $J_{AX} = 8.5$ Hz 및 $J_{BX} = 8.5$ Hz)이 존재하고, 非等價의 methylene proton의 존재가 示唆되고 있다. 低磁場에 나타난

signal은 芳香族의 proton H_a, H_b 및 H_c 에由來하고 각각 7.00ppm(H_a , doublet, $J_{ab} = 8.1$ Hz), 6.57ppm(H_b , quartet, $J_{ab} = 8.1$ Hz, $J_{bc} = 2.2$ Hz) 7.17ppm(H_c , doublet, $J_{bc} = 2.2$ Hz)이다.

그림 11은 本合成物質의 質量分析 spectrum를 표시한 것이다.

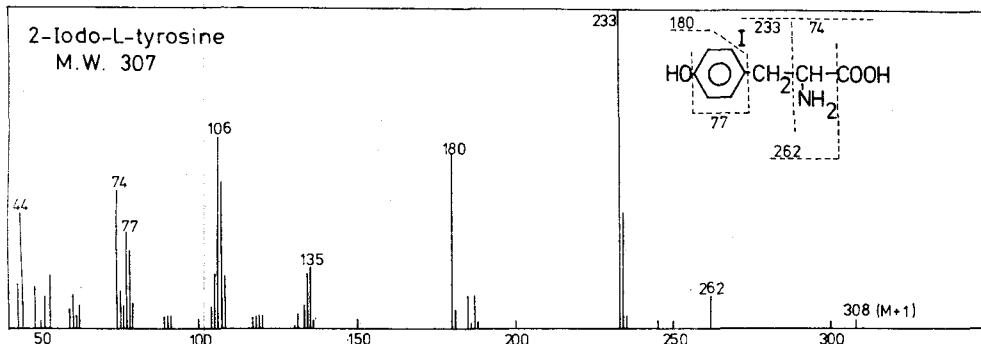


Fig. 11. Mass-spectrum of 2-iodo-L-tyrosine

m/e 308에 M^{+1} 의 이온 peak가 나타나 있다. 分子이온 peak에서 $-COOH$ 가 떨어진 m/e 262, I가 떨어진 m/e 180, $-CH \cdot (NH_2) \cdot COOH$ 가 떨어진 m/e 233의 fragment peak도 현저히 나타

나 있다.

그리고 그림 12에 本合成物質의 IR-spectrum 을 표시하였다.

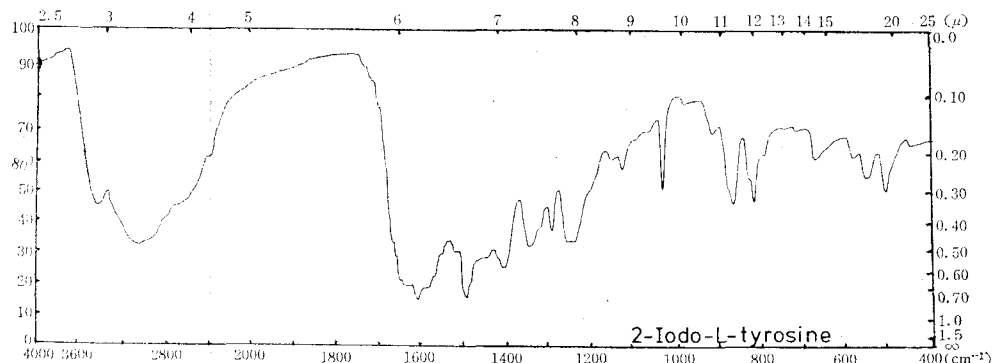


Fig. IR-spectrum of 2-iodo-L-tyrosine.

$3,400\text{cm}^{-1}$ 에 $-OH$, $3,210\text{cm}^{-1}$ 에 $-NH$, $3,000\text{cm}^{-1}$ 에 $-CH_2-CH-$, $2,400\text{cm}^{-1}$ 에 $-COOH$, $1,630\text{cm}^{-1}$ 에 $-C=O$, $1,570\text{cm}^{-1}$ 에 benzene核의二重結合의吸收가 보인다. 또한 $1,500\text{cm}^{-1}$ 에 $-NH$ 에 의한吸收가 나타나 있다.

었다. 3

考 察

本研究는 β -tyrosinase에 의한 2-halogen化 tyrosine의 豐收率을 검토하였다.

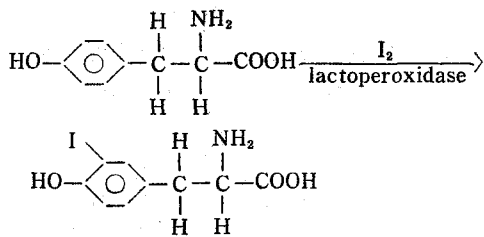
m-chlorophenol, *m*-bromophenol 및 *m*-iodophenol에서 각각 2-chlorotyrosine, 2-bromotyrosine 및 2-iodotyrosine을 豐收率을 수 있는 것을 그 반응생성을 結晶状으로 單離하여 同定함으로서 알 수 있었다.

한편 halogen化 tyrosine의 豐收率으로서

한편 結晶화시킨 合成物質의 元素分析을 한 결과는 표 5에서와 같이 C, N, H 및 I의 값은計算값에 잘一致되었다.

以上の結果로서 *m*-iodophenol, NH₃, pyruvic acid에서 β -tyrosinase를 이용하여 豐收率한 本化合物은 2-iodo-L-tyrosine으로 同定할 수 있

는 沃素의 존재 하에서 lactoperoxidase의 반응에 의하여 3-iodotyrosine이 합성된다는 것이 報告되어 있다.^{16~18)}



halogen化 tyrosine은 물에 대한 溶解度가 tyrosine에 比하여 相當히 높으므로 phenol에서 tyrosine의 합성에서와 같이 생성물이 반응액 중에 析出되어 나오는 일은 볼 수 없다.

그리고 halogen化 phenol에서 halogen化 tyrosine의 生成率은 첨가한 halogen化 phenol의 約 10% 前後이다. 효소합성의 반응에서 phenol에 比하여 halogen化 phenol은 蛋白變性作用이 강하여 반응시간의 경과와 더불어 變性蛋白의 침전이 보이게 된다. 그러므로 過多量의 halogen化 phenol의 존재 하에서 halogen化 tyrosine의 효소합성을 하는 것은 不利한 것이며 halogen化 tyrosine의 합성은 halogen化 phenol과 β -tyrosinase를 서서히 첨가하는 것이 重要하다.

o] 研究報文에서는 記述하지 않았으나 3-fluorophenol에서 β -tyrosinase를 이용한 2-fluorotyrosine의 합성도 이루어졌다. 또 3-halogen化 tyrosine의 합성에 대하여서는 2-halogen化 phenol에서 합성된다는 것이 TLC에 의하여 검토되어 認定되고 있으나 반응시간이 걸어짐에 따라 또는 精製單離의 과정에서 3의 위치의 halogen原子가 離脱하여 tyrosine이 생성되어지는 것을 볼 수 있어 새로운 精製單離법이 요망된다. 이와 같은 現象은 3-bromotyrosine 및 3-chlorotyrosine에서 더욱 顯著하다.

한편 3-iodotyrosine은 이 β -tyrosinase의 基質이 되지 않으며 따라서 2-iodophenol에서 3-iodotyrosine의 합성은 되지 않는다. 이것은 tyrosine에 대한 β -tyrosinase의 α, β -脫離반응에는 benzene環의 水酸基가 필요한 것이나 이 近邊에 沃素原子와 같이 큰 原子가 존재하면 水酸基와 酵素와의 상호작용에 立體的인 阻害現象이 나타나는 것으로 생각된다. 故로 3-iodotyrosine은 이 β -tyrosinase의 α, β -脫離반응을 받지 않은 것이라고 생각된다.

要 約

Esherichia intermedia A-21의 菌體에서 얻은 β -tyrosinase의 α, β -脫離作用의 逆반응을 이용하여 L-tyrosine, 2-chloro-L-tyrosine, 2-bromo-L-tyrosine 및 2-iodo-L-tyrosine을 효소합성하고 그들의 元素分析과 NMR-spectrum, Mass-spectrum 및 IR-spectrum을 측정하여 그 構造解析을 하였다. 또한 β -tyrosinase에 의한 각 halogen化 tyrosine의 합성속도와 分解속도 그리고 halogen化 phenol의 β -tyrosinase에 대한 阻害作用 및 2-bromotyrosine의 합성에서 *m*-bromophenol의 經時的 첨가효과 등을 검토하여 다음과 같은 결과를 얻었다.

1) β -tyrosinase를 이용하여 pyruvin 酸, NH₃ 그리고 *m*-chlorophenol, *m*-bromophenol 및 *m*-iodophenol 등을 기질로 한 각 halogen化 tyrosine의 효소합성에서 *m*-chlorophenol에서 2-chlorotyrosine은 약 15%, *m*-bromophenol에서 2-bromotyrosine은 약 13.8% 그리고 *m*-iodophenol에서 2-iodotyrosine은 약 9.8%의 回收率로 각각 얻어졌다.

2) β -tyrosinase에 의한 tyrosine 및 halogen化 tyrosine의 합성에서 tyrosine의 합성속도를 100으로 하였을 때 2-chlorotyrosine은 28.2, 2-bromotyrosine은 8.13 그리고 2-iodotyrosine은 0.98의 상대속도를 보여 halogen化 tyrosine의 합성속도가 느렸다. 특히 Cl, Br, I의 順으로 原子半徑이 增加함에 따라서 halogen化 tyrosine의 합성속도가 低下되는 것이 認定되었다.

한편 3-iodotyrosine은 합성이 되지 않았다.

3) β -tyrosinase에 의한 tyrosine의 分解속도를 100으로 하였을 때 2-chlorotyrosine은 70.7, 2-bromotyrosine은 39.0, 2-iodotyrosine은 12.6의 상대적인 分解속도를 보았다. 즉 Cl, Br, I의 順으로 原子半徑이 크고 電氣陰性度가 적어짐에 따라서 分解속도가 低下되는 것이 分明하였다 그리고 역시 3-iodotyrosine은 分解를 받지 않았다.

4) β -tyrosinase의 活性에 대하여 phenol은 현저한 阻害作用을 보였으며 *o*- 및 *m*-chlorophenol과 *o*-bromophenol의 阻害도 현저하였다. 반면 iodophenol의 阻害는僅少하였으며 이들의 阻害作用을 Lineweaver-Burk plot 법에 따라 측정한 결과 *m*-chlorophenol은 混合型의 阻害作用을 보

였으며 그 K_i 값은 $5.46 \times 10^{-4} M$ 이였다.

5) β -tyrosinase에 의한 2-bromotyrosine의 합성에서 기질인 *m*-bromophenol은 經時的으로 少量씩 증가하는 것이 효과적이었다.

6) β -tyrosinase를 이용하여 pyruvin 酸, NH₃ 및 各 halogen 化 phenol에서 합성한 2-halogen 化 tyrosine들을 각각 元素分析하고 또한 NMR-spectrum, Mass-spectrum 그리고 IR-spectrum 등으로 측정하여 그들의 構造를 解析한 결과 각각 2-chloro-L-tyrosine, 2-bromo-L-tyrosine 및 2-iodo-L-tyrosine임을 認定할 수 있었다.

参考文献

- 1) 金燐祚, 長沢透, 谷吉樹, 山田秀明: 韓農學
22, (1), 191(1979)
- 2) 和田博: 生理活性アミノ酸誘導體の生化學(アミノ酸, アミンと醫藥), 日本農藝化學會 Symposium, 1979年度講演要旨集 p.513
- 3) S. Udenfriend and J.R. Copper *J. Biol. Chem.*, **196**, 227(1952)
S. Udenfriend: "Method in Enzymology" ed. by S.P. Colowick, N.O. Kaplan, Academic press, New York, Vol. 3 p.610(1957)
- 4) 山田秀明: ビタミン, **51**, 463(1977)
- 5) H. Yamada and H. Kumagai: "Advances in applied microbiology" Vol. 19, p.249~288 (1975), Academic Press, INC, New York.
- 6) H. Enei, H. Nakazawa, H. Matsui, S. Oku-
mura and H. Yamada: *FEBS letters*, **21**, 39 (1972)
- 7) H. Nakazawa, H. Enei, S. Okumura and H. Yamada: *Agri. Biol. Chem.*, **36**, 2523(1972)
- 8) H. Yamada and H. Kumagai, et al.,: *Biochemical and Biophysical Research Communications*, **46**, 370(1972)
- 9) 山田秀明: 日本應用酵素協會誌; No. 12, p.14 (1977)
- 10) T. Ueno, H. Fukami, H. Ohkishi, H. Kumagai and H. Yamada: *Biochim. Biophys. Acta*, **206**, 476(1970)
- 11) H. Yoshida and H. Yamada: *FEBS letters*, **25**, 43(1972)
- 12) 山田秀明: ビタミン, **53**, 41(1979)
- 13) H. Yamada and H. Kumagai; *Pure & Appl. Chem.*, **50**, 1117(1978)
- 14) 日本生化學會編: 生化學實驗講座11, アミノ酸代謝と生體アミン(上) p.72~73, 東京化學同人社(1976)
- 15) T.E. Friedemann and G.E.: *Haugen J. Biol. Chem.*, **147**, 415(1943)
- 16) J. Roche, S. Lissitzky, O. Michel and R. Michel: *Biochim. Biophys. Acta*, **7**, 439(1951)
- 17) I. Covelli and J. Wolff: *J. Biol. Chem.*, **241**, 4444(1966)
- 18) J. M. Gleiser and R.L. Blakley: *J. Biol. Chem.*, **250**, 1580(1975)